

FIG. 1A

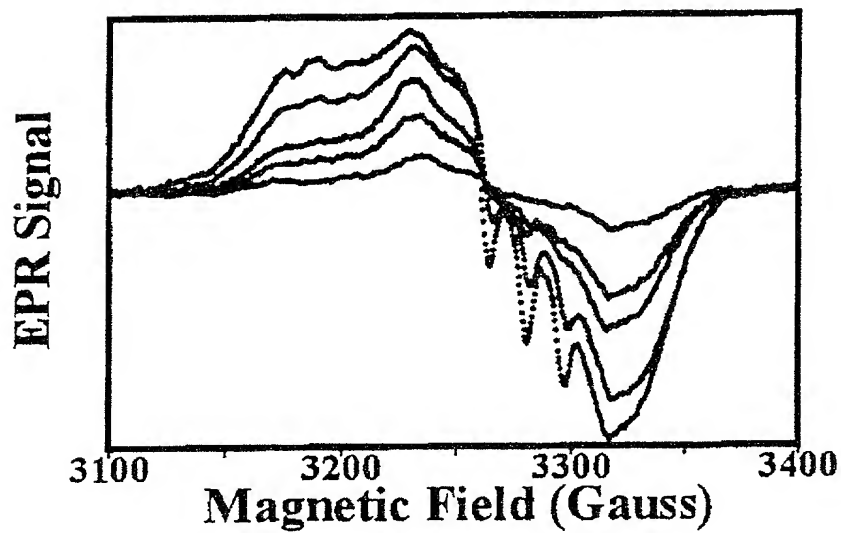


FIG. 1B

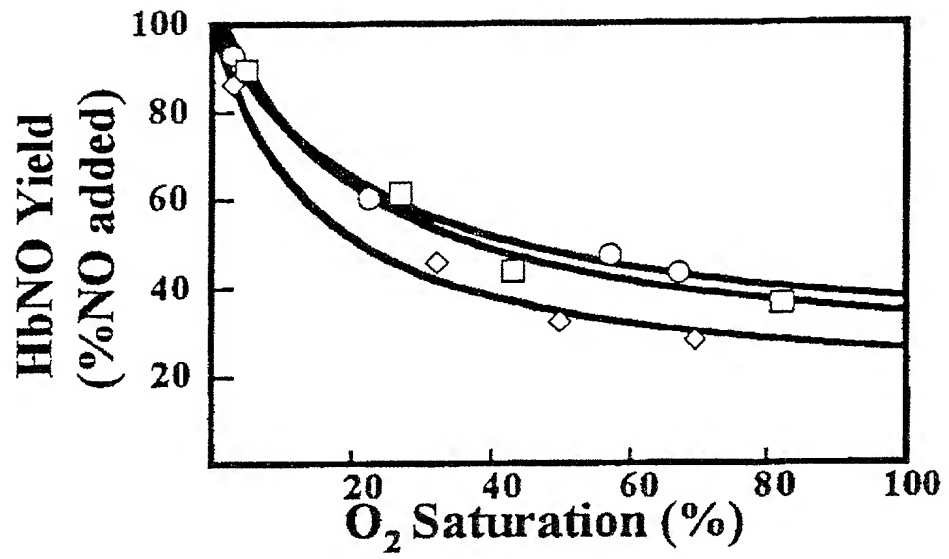


FIG. 1C

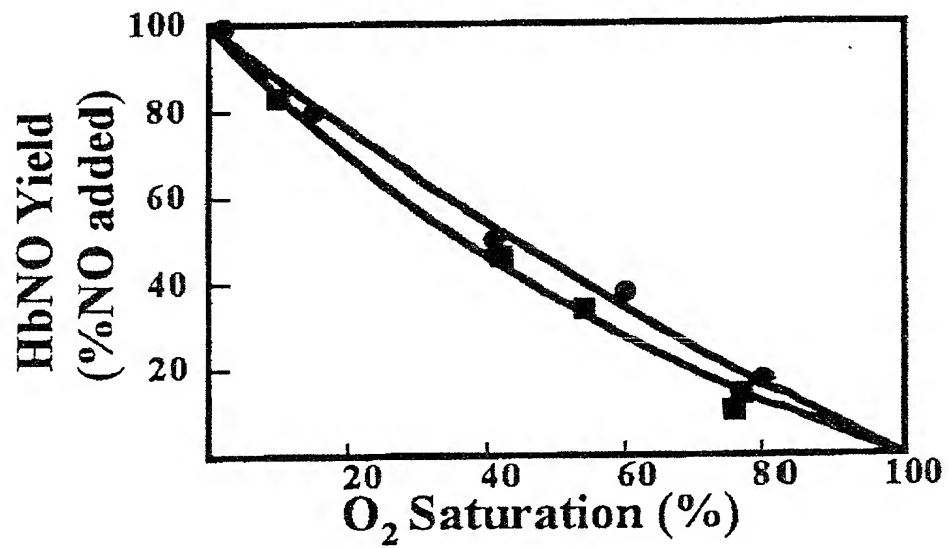


FIG. 1D

10066320-013102

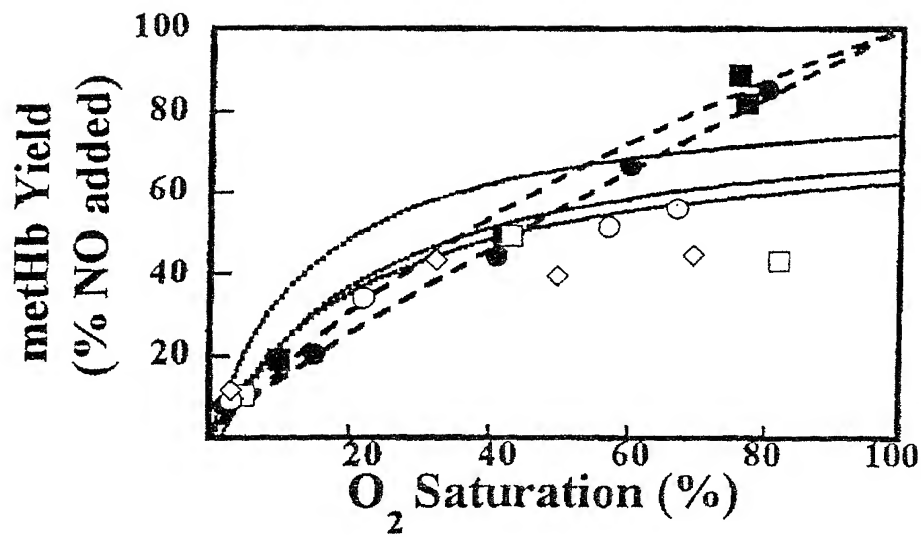


FIG. 2

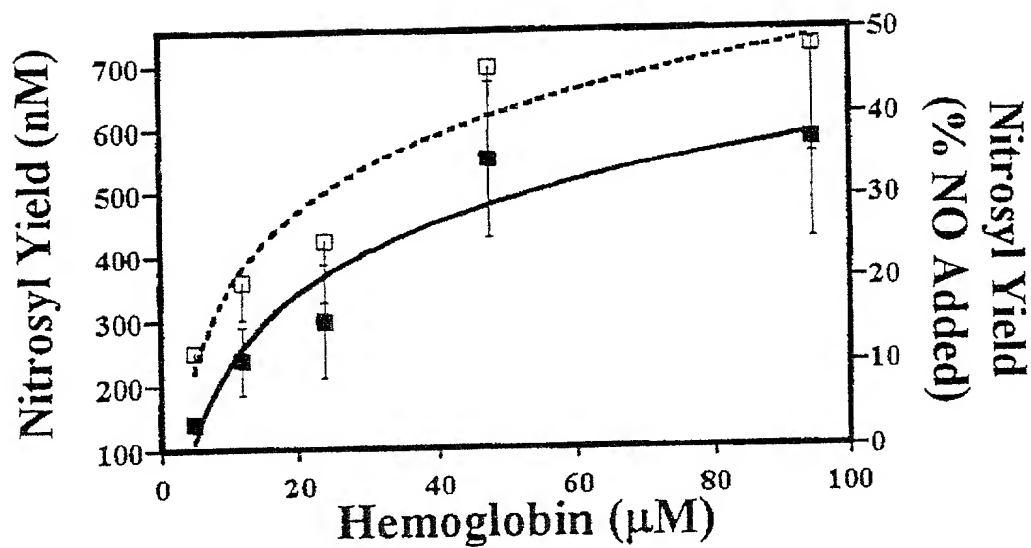


FIG. 3A

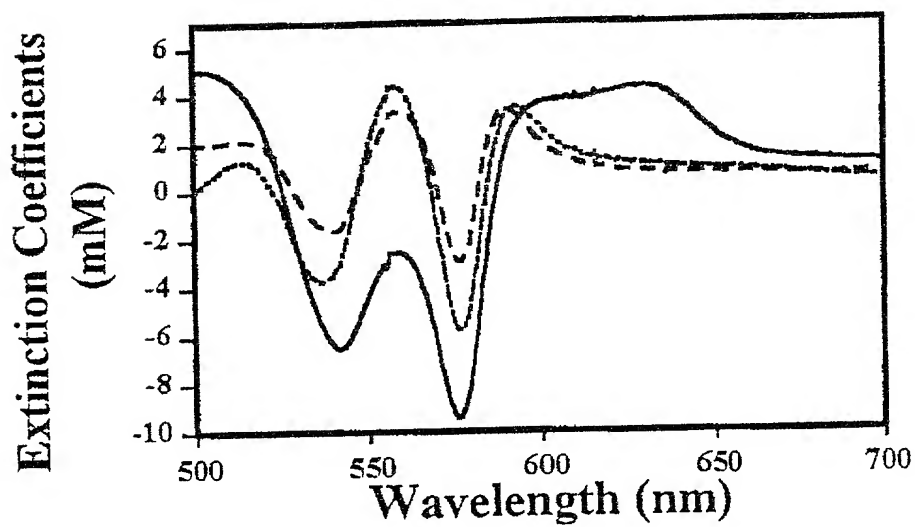


FIG. 3B

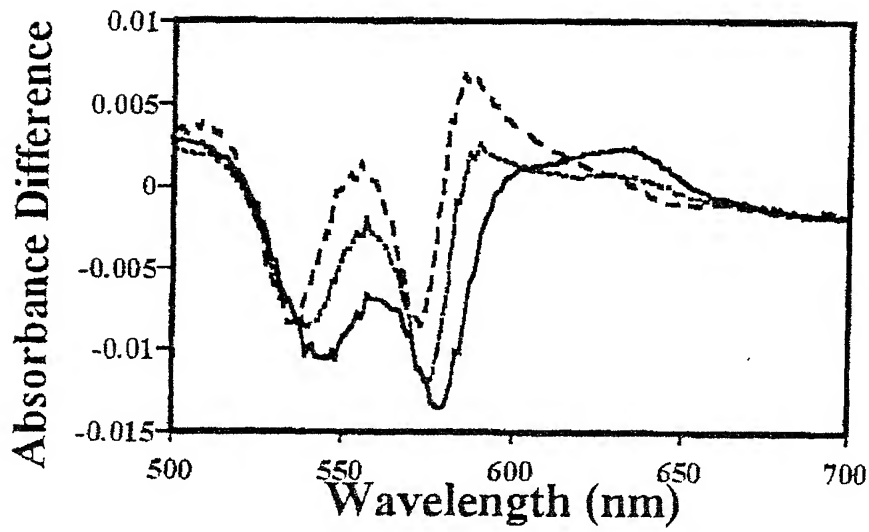


FIG. 3C

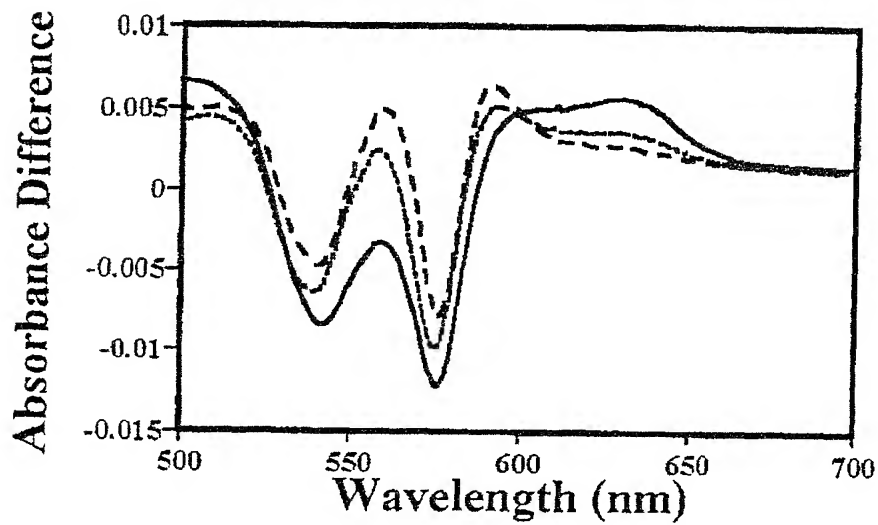


FIG. 3D

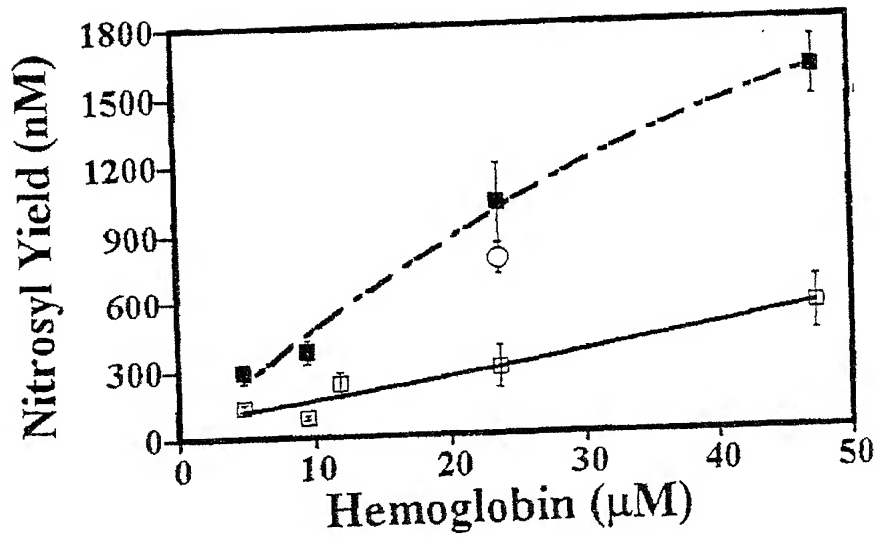


FIG. 4A

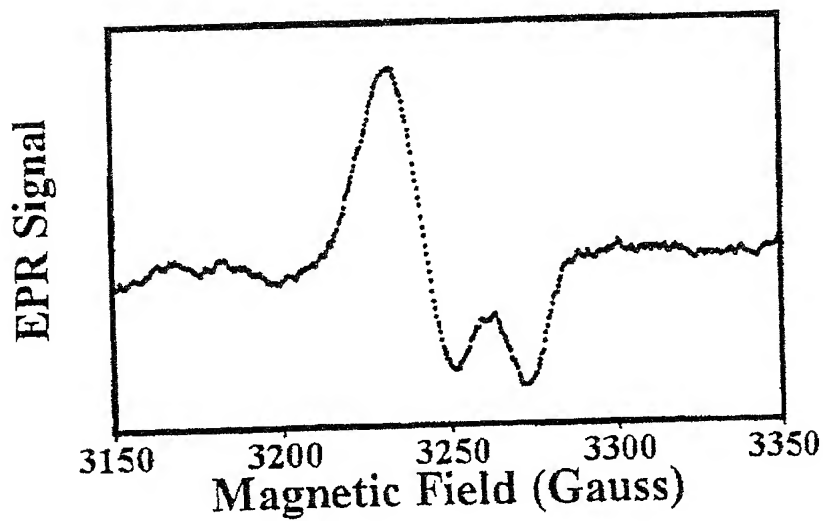


FIG. 4B

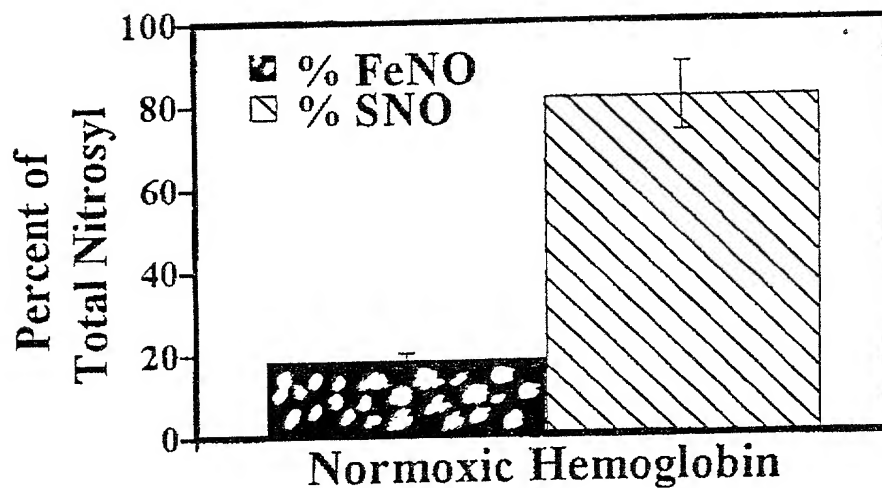


FIG. 4C

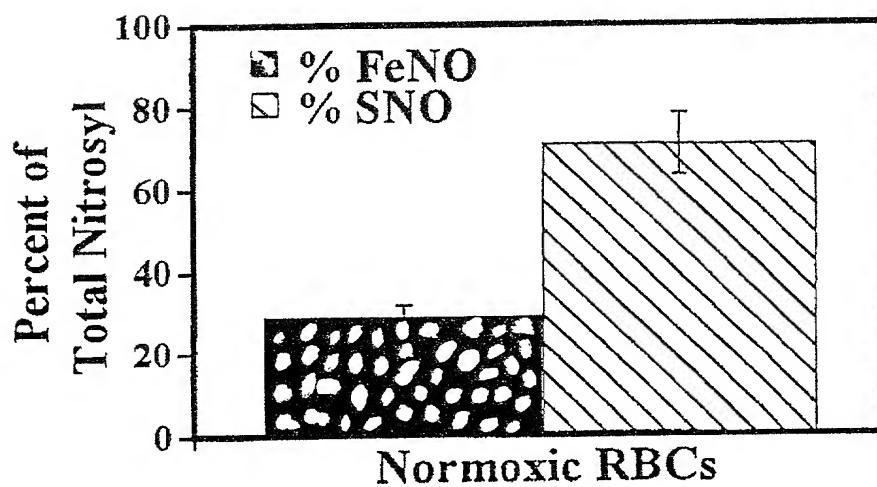


FIG. 4D

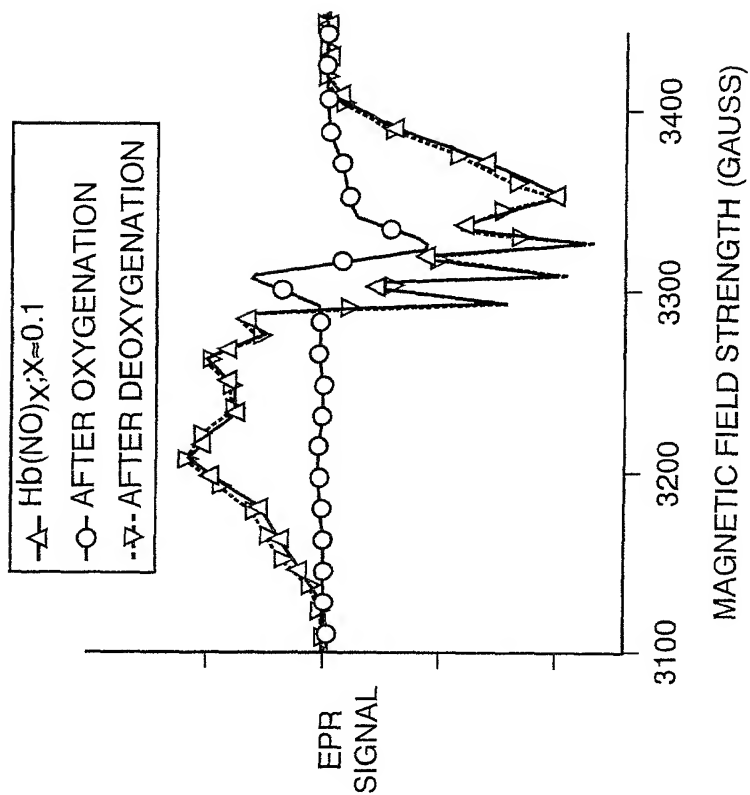


FIG. 5

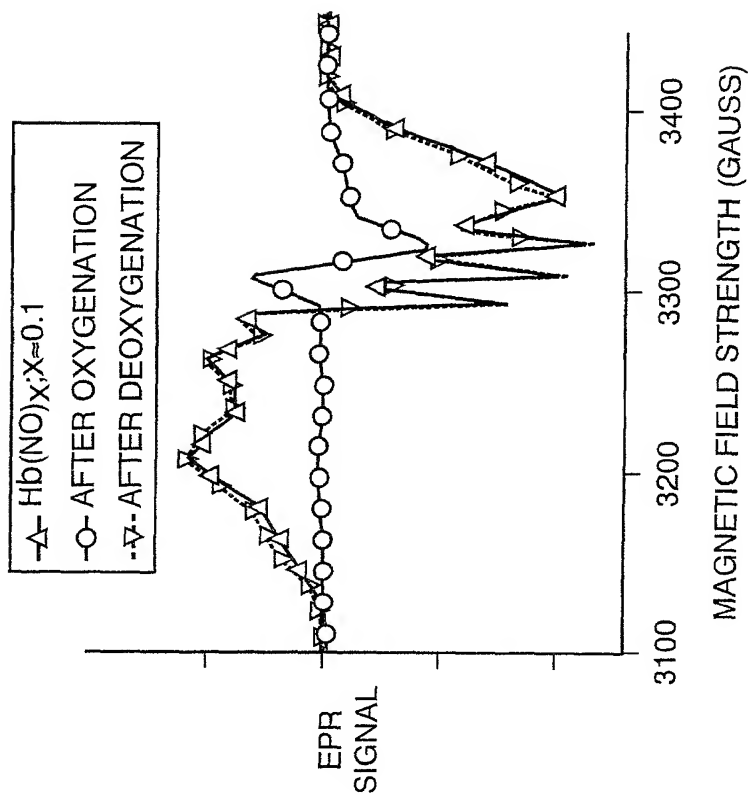


FIG. 6



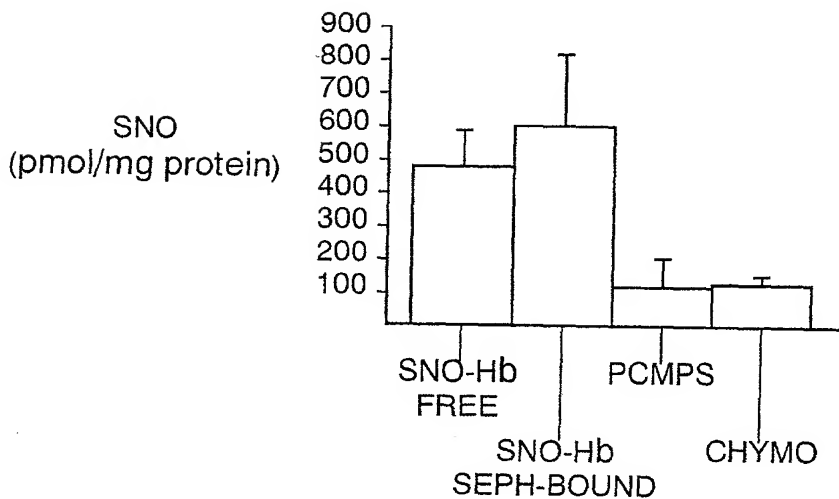
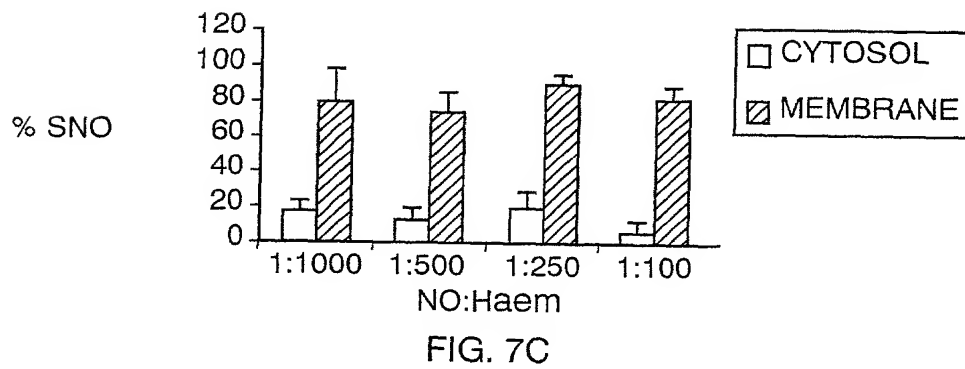
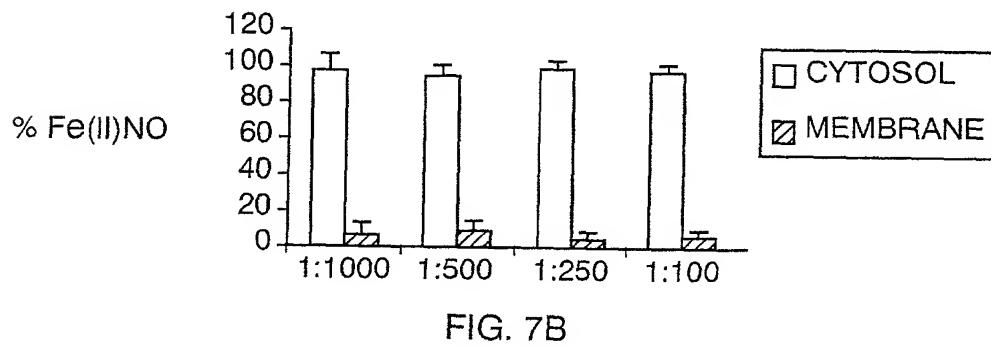
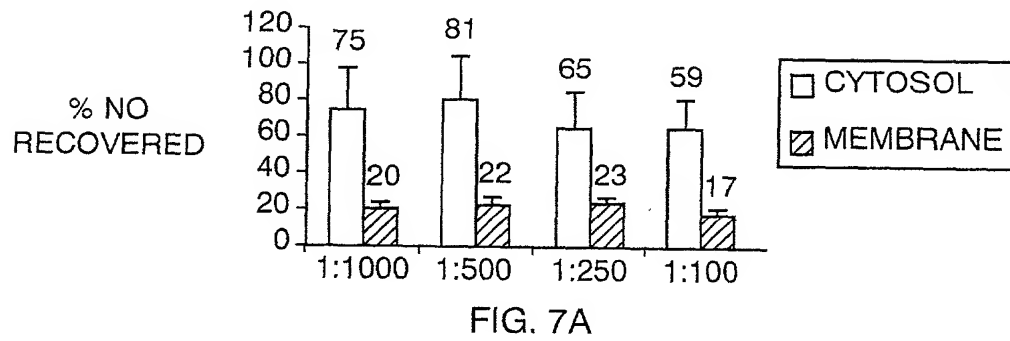


FIG. 8A

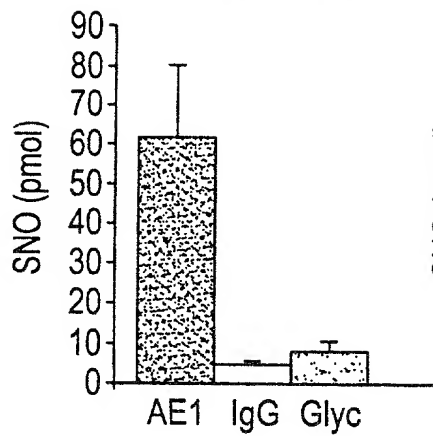


FIG. 8B

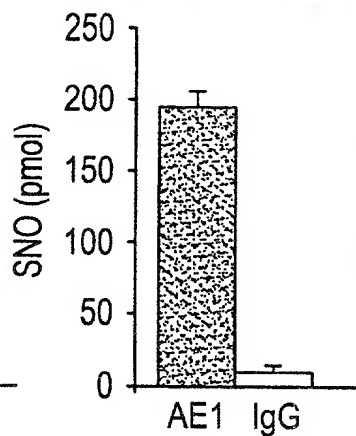


FIG. 8C

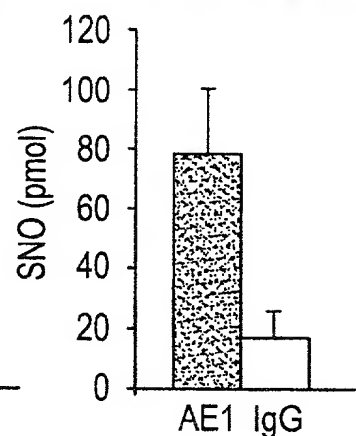


FIG. 8D

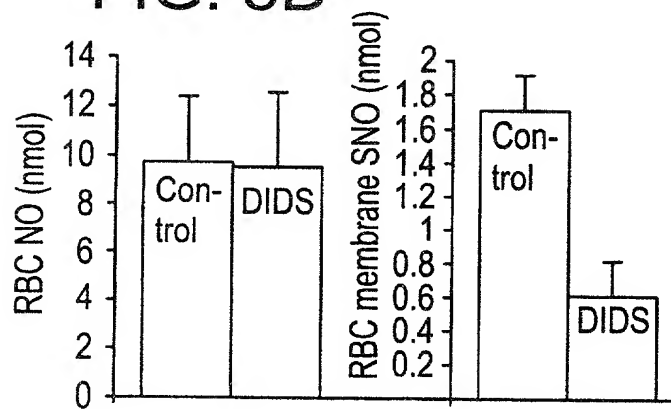


FIG. 8E

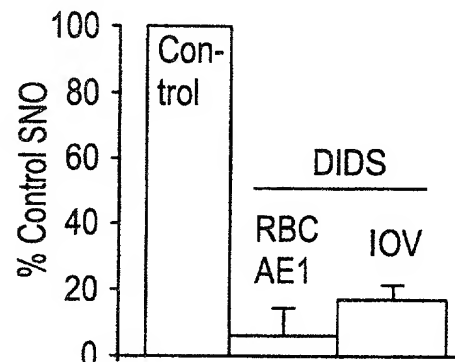


FIG. 8F

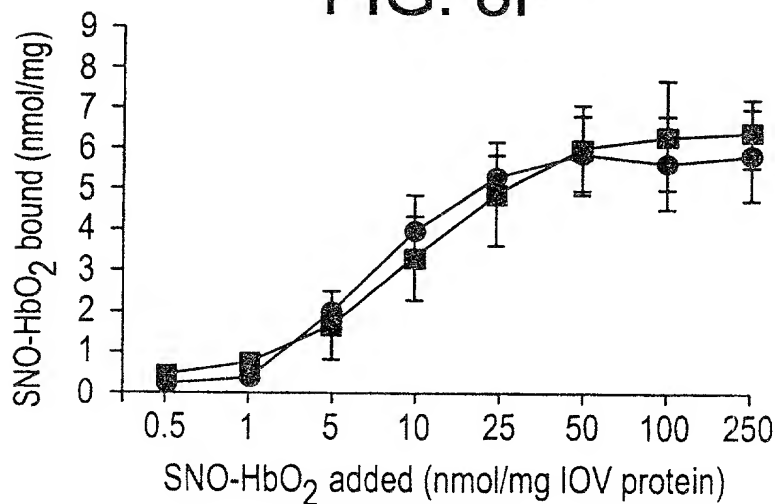
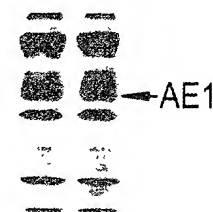


FIG. 8G



IOVs:  
 ● Control  
 ■ DIDS-treated

DIDS: - +

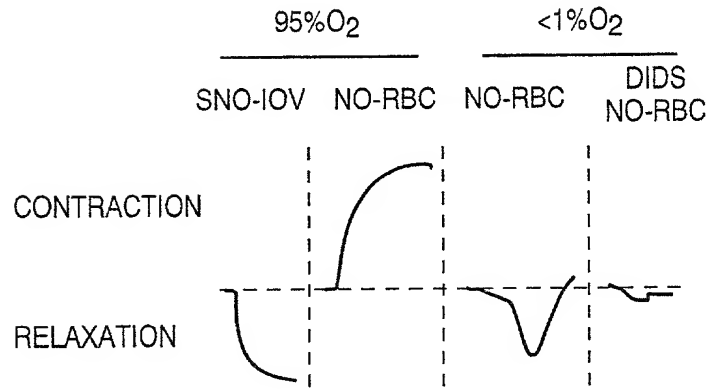


FIG. 9A

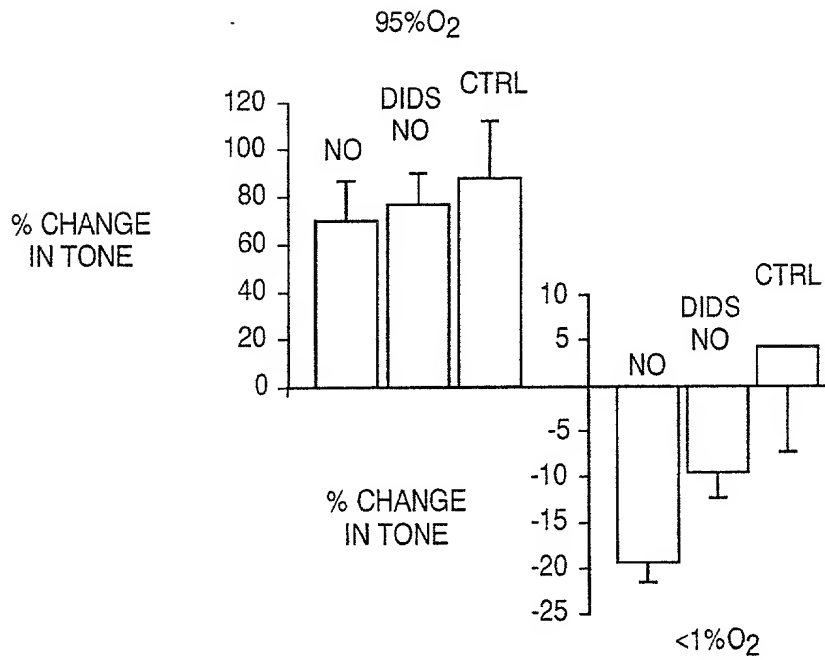


FIG. 9B

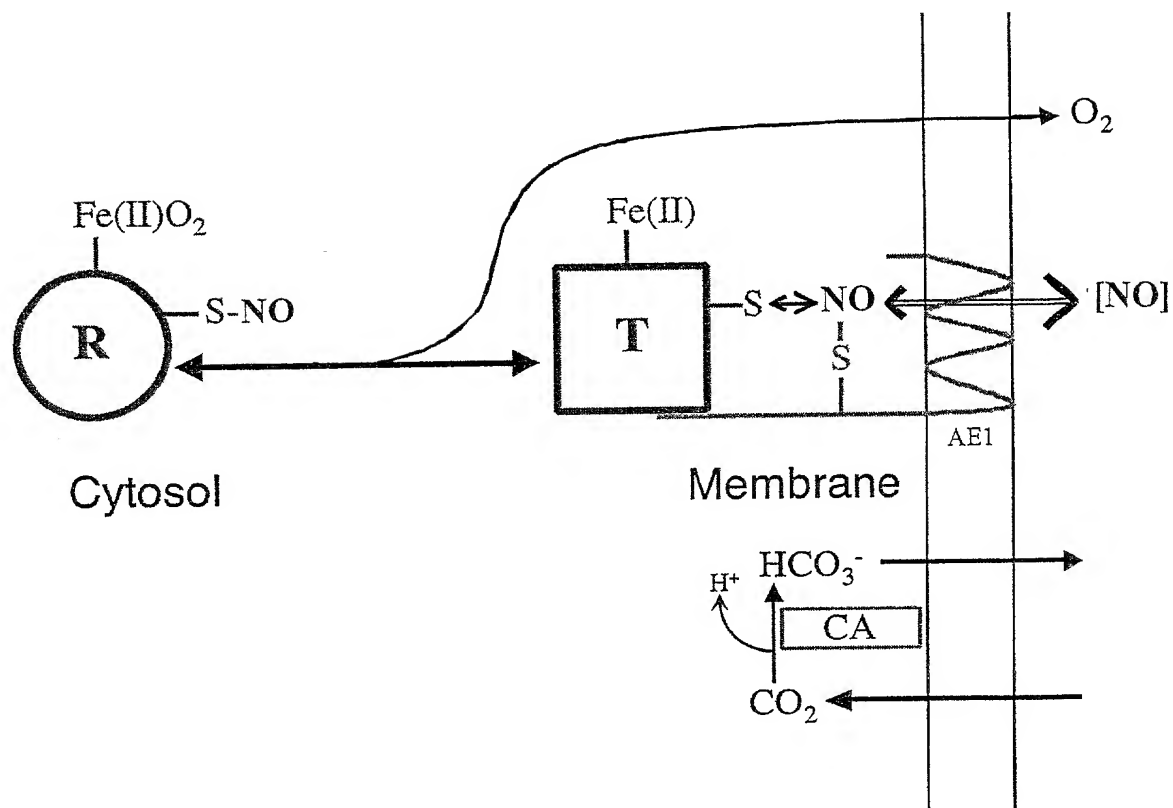


FIG. 10

SEQUENCE LISTING

1 meelqdddyed mmeenleqee yedpypesq meepaahdte atatdyhtts hpgthkvyve  
61 lqelvmdkn qelwmeaar wvqleenlge ngawgrphls hltfwsllel rrvftkgtvl  
121 ldlqetslag vanqlldrfi fedqirpqr eellralllk hshageleal ggvkpavltr  
181 sgdsqpllp qhssletqlf ceqgdggteg hpsgileki ppdseatlv1 vgradflegp  
241 vlqfvrqlqea aelevlpv pirflfvllg peaphidytq lgraaatlms ervfridaym  
301 aqsrgeellhs legfldcslv lpptdapseq allslvpvqr ellrrryqss pakpdsssfyk  
361 gldlnggppdd plqqtgqlfg glvrdirry pyylsditda fspqvlaavi fiyfaalspa  
421 itfggllgek trnqmgvsel listavqgil fallgaqpl1 vvgfsgpllv feeaffsfce  
481 tngleyivgr vwlgfwlill vvlvafegs flvrfsisryt qeifsfllsl ifiyetfsl  
541 ikifqdhplq ktynynvmlv pkpqqgplpnt allslvlmag snssargwvi hplglrsefp  
601 lrrvigdfgv pisilimvlv dffiqdtytq klsvpdgfkv gfhldlllv gmggvaalfg  
661 iwmmfasalp allvfilifl esqittlvs kperkmvks isgllvavlv glsilnepil  
721 mpwlsattvr svthanaltv mgkastpgaa aqiquevkeqr dvpyvkrvkt wrmhlftgiq  
781 sriplavlfq iflymgvtsl sgiqlfdril llfkppkyhp velqcladd akatfdeeeeg  
841 iclavlwv kstpaslalp fvliltvplr rvllplifrn  
901 rdeydevamp v

FIG. 11